Responsable : SELLENET Nicolas Clé : V1.01.243 Révision 1944b9685df8

Date: 26/01/2010 Page: 1/7

PERF002 - Calcul thermo-élastique d'un anneau creux soumis à un chargement thermique

Résumé:

L'objectif de ce cas-test est de mesurer les performances d'un calcul thermo-élastique 3D avec plusieurs pas de temps.

Les trois modélisations effectuées sont les suivantes :

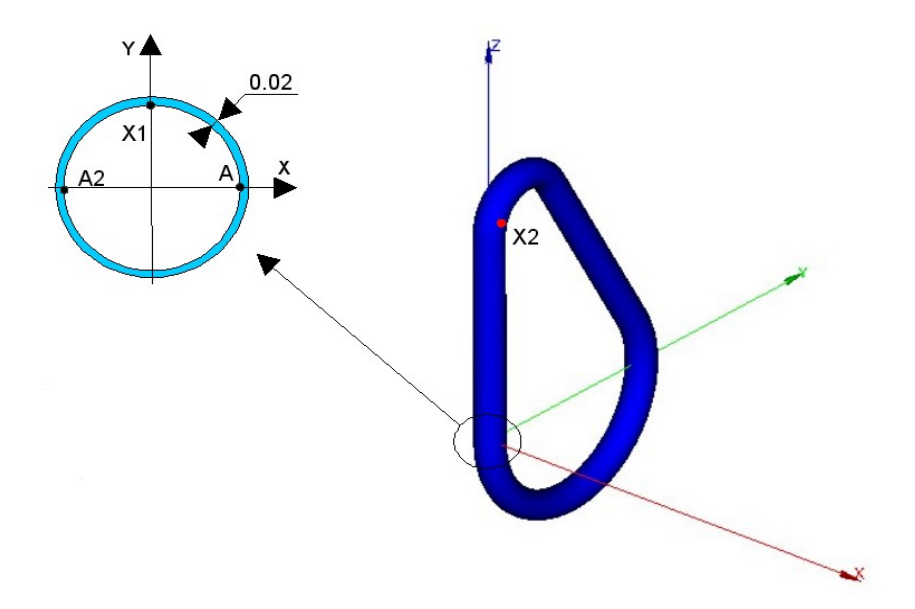
- Modélisation A: maillage HEXA8, 2.5 E5 degrés de liberté, MECA_STATIQUE ('MULT_FRONT')
- Modélisation B : maillage HEXA8, 5.0~E5 degrés de liberté, MECA STATIQUE ('MULT FRONT')
- Modélisation C : maillage HEXA8, 1.0~E6 degrés de liberté, MECA STATIQUE ('MULT FRONT')

Date: 26/01/2010 Page: 2/7 Responsable: SELLENET Nicolas Clé: V1.01.243 Révision

1944b9685df8

Problème de référence

1.1 Géométrie



Coordonnées des points (m):

A:(1.,0.,0.)

A2:(-1.,0.,0.)

X1:(0.,1.,0.)

X2:(1.,0.,15.)

Groupe de mailles : P1 surface interne

1.2 Propriétés du matériau

- E = 5.0 E11 Pa
- v = 0.3
- $\rho = 9800 \ kg.m^{-3}$
- $\alpha = 2.0 E 5 \circ C^{-1}$

1.3 **Conditions aux limites et chargements**

Déplacements imposés :

: DX = DY = DZ = 0.A

: DY = DZ = 0.A2

: DZ = 0.X1

Chargement thermique:

Le chargement transitoire thermique évolue selon l'axe Z, sur l'intervalle [0, 10] de la façon suivante :

t=0.s: la température est constante à $20\,^{\circ}C$ pour $Z=-20\,m$ à $Z=30\,m$

t=10.s: la température varie de $20\,^{\circ}C$ pour $Z=-20\,m$ à $220\,^{\circ}C$ pour Z=30 m

Date: 26/01/2010 Page: 3/7 Révision Responsable: SELLENET Nicolas Clé: V1.01.243

1944b9685df8

2 Solution de référence

2.1 Méthode de calcul

Le résultat de référence (déplacement suivant l'axe Z du point X2) a été obtenu en faisant la moyenne des déplacements calculés lors des modélisations A et B à l'instant t=9.s.

2.2 Résultats de référence

Déplacement au point X2: DZ=3.57 E-2 m à t=9.s.

2.3 **Incertitudes**

Solution numérique.

Date: 26/01/2010 Page: 4/7 Révision Responsable: SELLENET Nicolas Clé: V1.01.243

1944b9685df8

Modélisation A 3

Caractéristiques de la modélisation A 3.1

Modélisation 3D:

Nombre de nœuds 83 760

Nombre de mailles Soit: 112928

> SEG2 3320

QUAD4 46 788

HEXA8 62820

3.2 Résultats

Points	Grandeur	Référence (m)	Tolérance (%)	
X2	DZ	3.57 E - 2	1.000E-5	

Responsable : SELLENET Nicolas

Date : 26/01/2010 Page : 5/7 Clé : V1.01.243 Révision

Révision 1944b9685df8

4 Modélisation B

4.1 Caractéristiques de la modélisation B

Modélisation 3D:

Nombre de nœuds 168 000

Nombre de mailles 225 248 Soit :

SEG2 6128

QUAD4 93 120

HEXA8 126000

4.2 Résultats

Points	Points Grandeur		Tolérance (%)	
X2	DZ	3.57 E - 2	1.000E-5	

Date: 26/01/2010 Page: 6/7 Révision Responsable: SELLENET Nicolas Clé: V1.01.243

1944b9685df8

Modélisation C 5

Caractéristiques de la modélisation C 5.1

Modélisation 3D:

Nombre de nœuds 336000

Nombre de mailles 405 472 Soit:

> SEG2 6192 QUAD4 105280 HEXA8 294 000

5.2 Résultats

 Points Grandeur		Référence (m)	Tolérance (%)	
X2	DZ	3.57 E-2	1.000E-5	

Responsable : SELLENET Nicolas

Date : 26/01/2010 Page : 7/7 Clé : V1.01.243 Révision

1944b9685df8

6 Synthèse des résultats

Machine	Aster	Mod.	Nb DDL	Mémoire (Mo)		Temps exécution (MECA_STATIQUE) (sec)			
		IVIOU.	ND DDL	Allouée	Utilisée	USERS	SYSTE M	USERS+SYS	ELAPSED
Linux 64 bits (ia64) "Bull"	10.1	Α	251 292	387	292	207.05	53.72	260.77	263.36
		В	504 012	807	578	413.38	72.54	485.92	489.48
		С	1 008 012	1796	1263	1284.55	235.61	1520.16	1525.72